

# *HARPO*

- Phase sol :

- Réalisations : D. Bernard.

focus > CS du 7 Jan 2013

- Analyse et résultats : P. Gros

- Phase vol : D. Horan

liens à <http://llr.in2p3.fr/~dbernard/polar/harpo-t-p.html>

# *Le projet HARPO (Hermetic ARgon POLarimeter) :* *Liste de signataires “Japon” (Nov. 2014)*

- FRANCE: the detector

Denis Bernard, Philippe Bruel, Mickael Froton, Yannick Geerebaert, Berrie Giebels, Philippe Gros, Deirdre Horan, Marc Louzir, Patrick Poilleux, Igor Semeniouk, Shaobo Wang <sup>a</sup>

<sup>a</sup>LLR, Ecole Polytechnique and CNRS/IN2P3, France

David Attié, Denis Calvet, Paul Colas, Alain Delbart, Patrick Sizun <sup>b</sup>

<sup>b</sup>IRFU, CEA Saclay, France

Diego Götz <sup>b,c</sup>

<sup>c</sup>AIM, CEA/DSM-CNRS-Université Paris Diderot, IRFU/SAp, CEA Saclay, France

- JAPAN: the beam.

S. Amano, T. Kotaka, S. Hashimoto, Y. Minamiyama, A. Takemoto, M. Yamaguchi,  
S. Miyamoto <sup>e</sup>

<sup>e</sup> LASTI, University of Hyôgo, Japan

S. Daté, H. Ohkuma <sup>f</sup>

<sup>f</sup> JASRI/SPring8, Japan



# Objectifs scientifiques

- Présentés à la fin de la décennie précédente en CS
- Astrophysique :
  - exploration du “trou” de sensibilité  $1 < E < 100 \text{ MeV}$
  - polarimétrie : compréhension du fonctionnement de sources cosmiques émettrices de rayons  $\gamma$  (AGN, GRB, pulsars ..)
- Science fondamentale
  - recherche de physique au delà du modèle standard : violation de l’invariance de Lorentz (LIV)
  - recherche de l’axion et autres ALP (en particulier composantes de la matière noire)
- Update aujourd’hui : Deirdre.

# Calendrier et financements

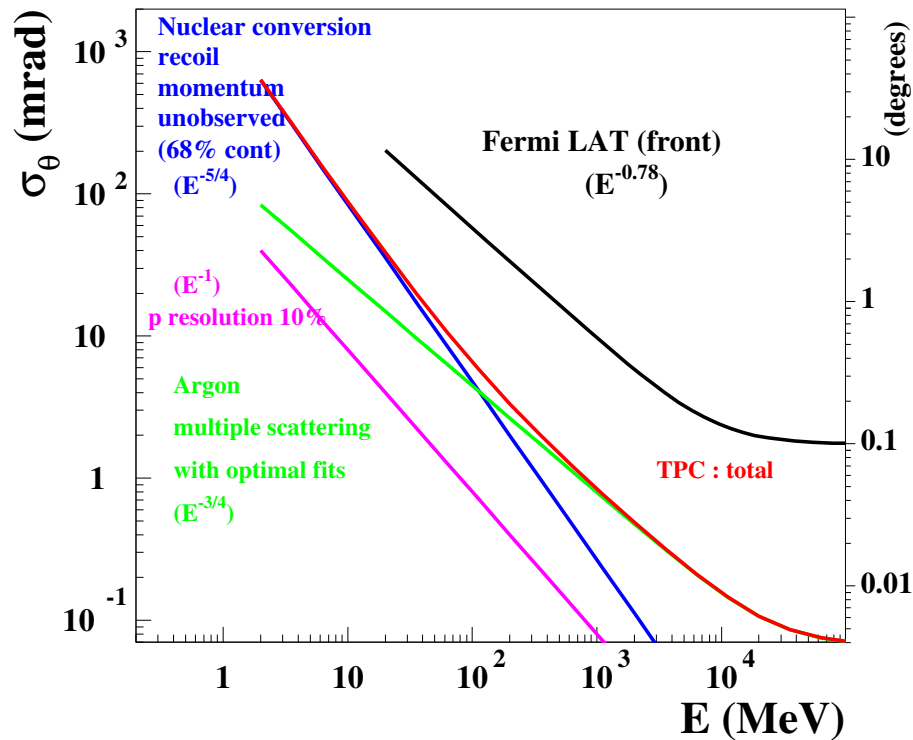
Phase sol uniquement

		financement	k-€	début CDD
2008	bibliographie			
2009	premiers travaux MC, LAr TPC			
2010	résultats MC, design GAr TPC	P-et-U (LLR)	30	
2011	construction proto	IN2P3 (LLR)	11	
2012	test cosmiques et publi	P2IO (LLR + CEA)	81	thèse Shaobo CNES/CNRS
2013	2 publis "théoriques", fabrication GEM			Philippe (P2IO)
2014	tests, publi GEM conception, réalisation trigger faisceau MoU, transport, datataking Japon	ANR (LLR + CEA)	403	
2015	analyse 1.0 (Shaobo), 2.0 (Philippe) soutenance Shaobo, étude ASTRE recirculation/purification gaz, test, publi			Philippe, David (ANR)
2016	analyse 3.0, publi SPIE2016 publi trigger, fabrication ASTRE soumission 2 publis Gros+Bernard			Ryo (Dec.)
2017	Japon : publi résultats finaux ASTRE caractérisation, publi (elec, radhard) générateur d'evts dans geant4 caractérisation gaz : le retour (pyrame !)			fin prévue ANR Juin
2018				fin prolongée Juin

# Papier TPC

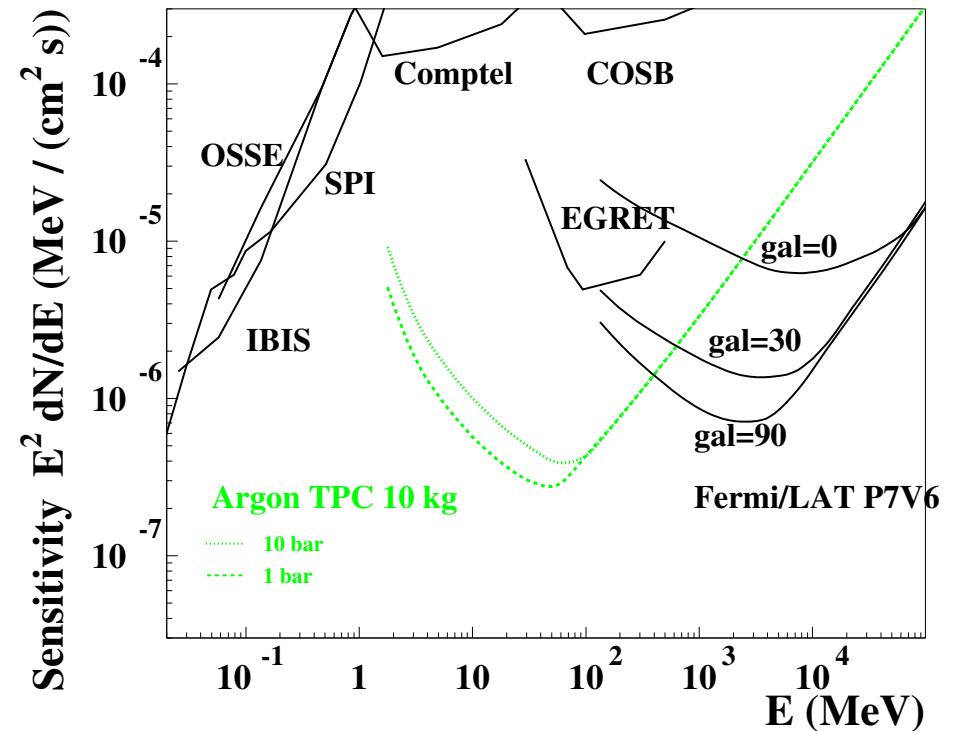
Angular resolution

- nucleus recoil  $\propto E^{-5/4}$
- multiple scattering (optimal fits)  $\propto E^{-3/4}$



point-source differential sensitivity

limit detectable  $E^2 dN/dE$ , à la Fermi: 4 bins/decade,  $5\sigma$  detection,  $T = 3$  years,  $\eta = 0.17$  exposure fraction,  $\geq 10\gamma$ . "against" extragalactic background



NIM A 701 (2013) 225

# Papier polarimétrie

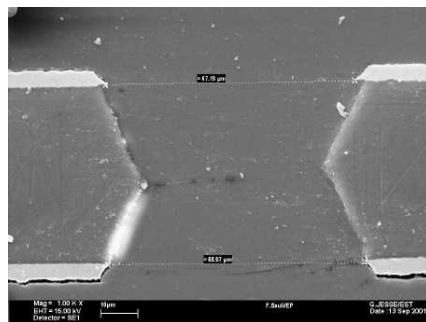
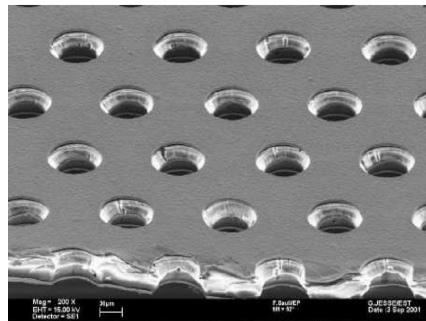
- Publication du 1er générateur d'événements 5D, polarisé, exact jusqu'au seuil.
- Utilisation de "variables optimales" à la Verderi. 1D  $\rightarrow$  5D : gain en précision / 2.
- Etude de la dilution de l'asymétrie de polarisation en diffusion multiple avec détecteur homogène et fits optimal (à la Kalman)
- Pulsar du Crabe,  $T = 1$  year,  $V = 1 \text{ m}^3$ , argon 5 bar, ( $\eta = \epsilon = 1$ )  $\sigma_P \approx 1.0\%$   
 $\eta$  "exposure fraction",  $\epsilon$  efficacité.
- Coupes expérimentales,  $\epsilon = 45\%$ ,  $\sigma_P \approx 1.4\%$   $5\sigma$  MDP of  $7\% / \sqrt{\text{Flux}/\text{Crab}}$
- For  $B \ll S$ , **argon**,  $P$  "pas trop élevée" :

$$\sigma_P \approx 1.4\% \sqrt{\left(\frac{\text{Crab}}{F}\right) \left(\frac{1 \text{ year}}{T}\right) \left(\frac{1 \text{ m}^3}{V}\right) \left(\frac{5 \text{ bar}}{P}\right) \left(\frac{1}{\eta\epsilon}\right)}$$

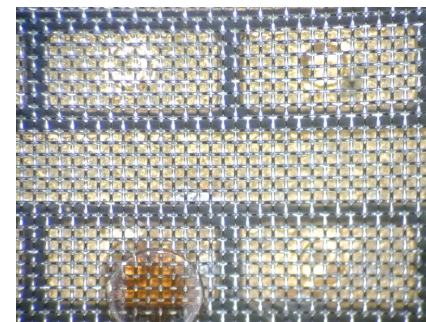
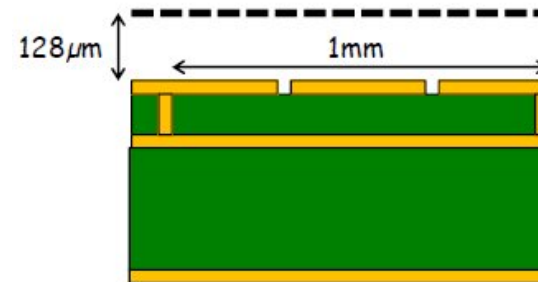
NIM A 729 (2013) 765

# Préparation du prototype TPC HARPO

Gas Electron Multiplier  
50  $\mu\text{m}$  Kapton, copper clad,  
pitch 140  $\mu\text{m}$ ,  $\Phi 70 \mu\text{m}$



“bulk” micromegas  
gap 128  $\mu\text{m}$



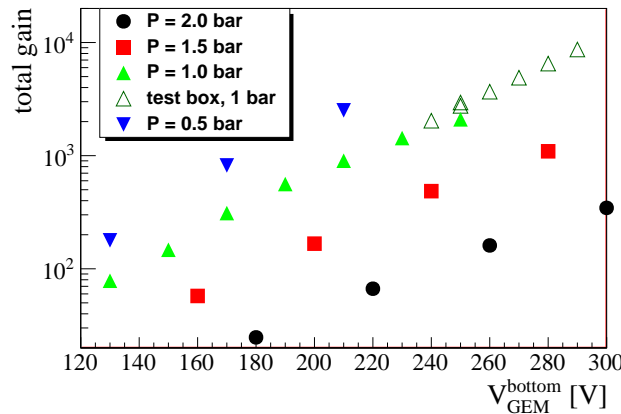
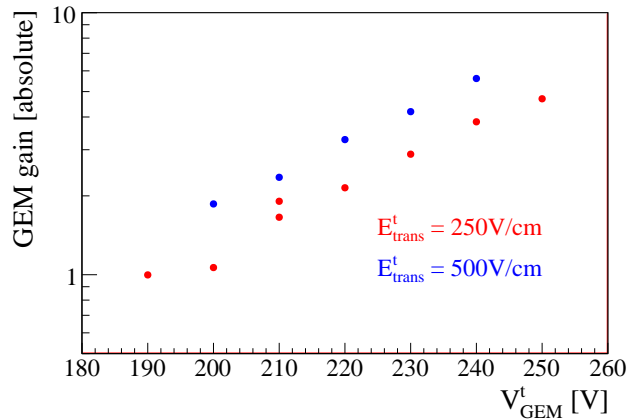
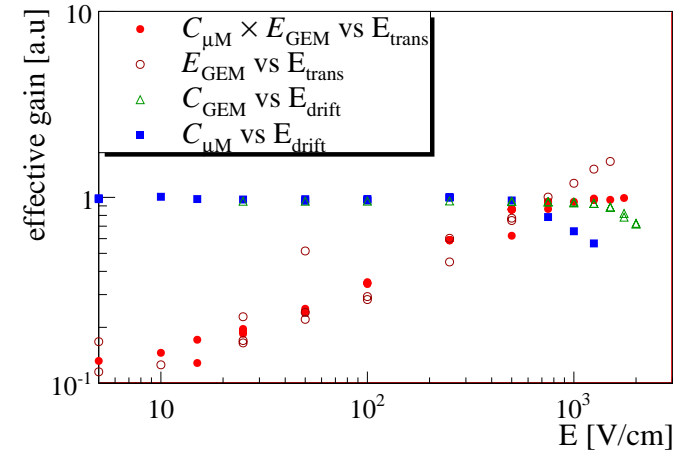
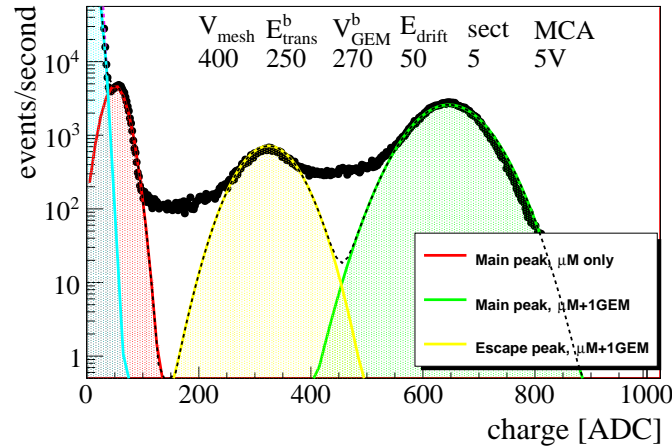
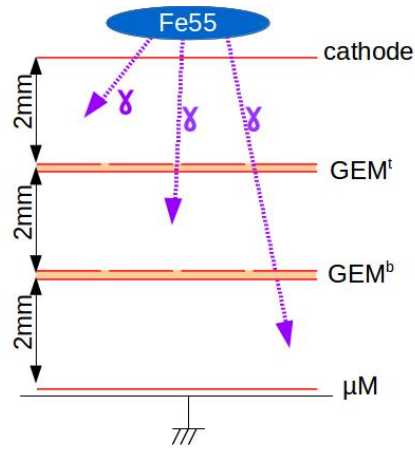
F. Sauli, NIM A 386, 531 (1997)

I. Giomataris *et al.*, NIM A 560, 405 (2006)

Réalisation au CERN et montage de la structure hybride par nous à l'atelier RD51

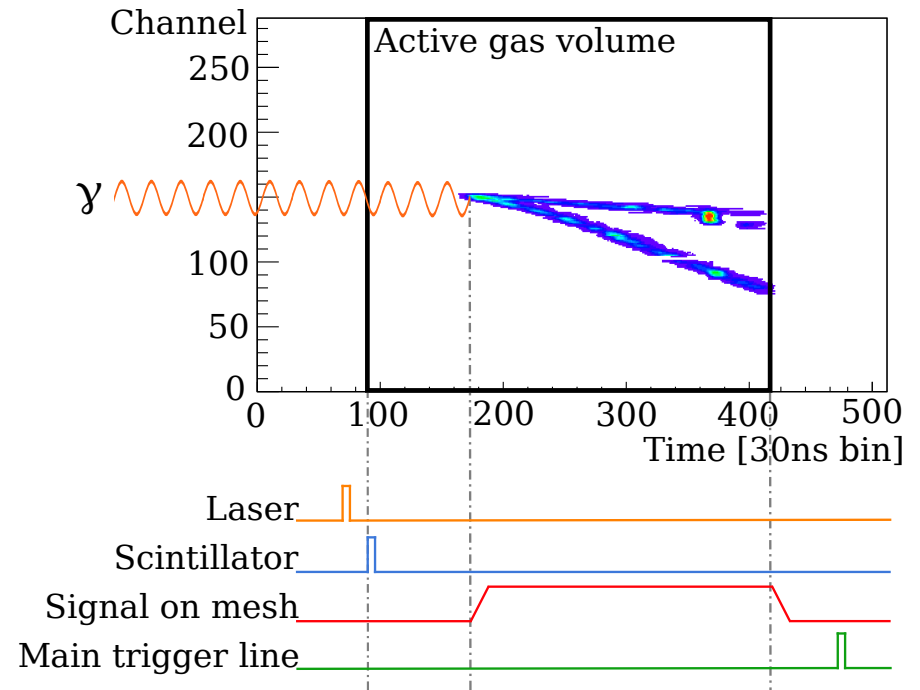
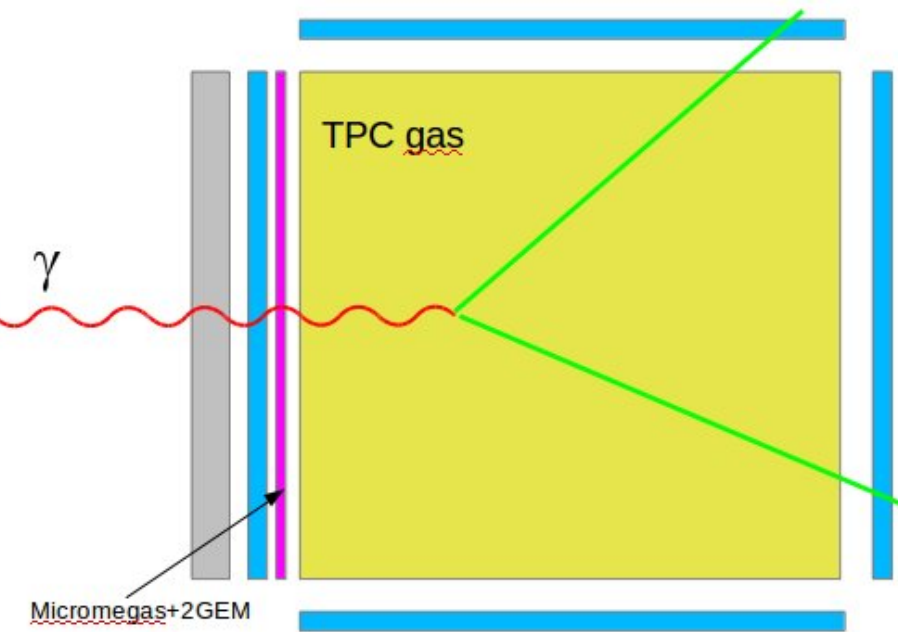
# Amplification par système hybride 2 GEM + $\mu M$

$^{55}\text{Fe}$  (dedicated test bench) and cosmic-rays (in TPC)



Ph. Gros et al., TIPP2014, PoS(TIPP2014)133

# “Beam” trigger system



- $S_{up}$  upstream scintillator
- $O$  one of the 5 other scintillators
- $M_{slow}$ : a delayed ( $> 1\mu s$ ) signal on the micromegas mesh
- $L$  laser trigger pulse

“Main line”:  $T_{\gamma,laser} = \bar{S}_{up} \cap O \cap M_{slow} \cap L$

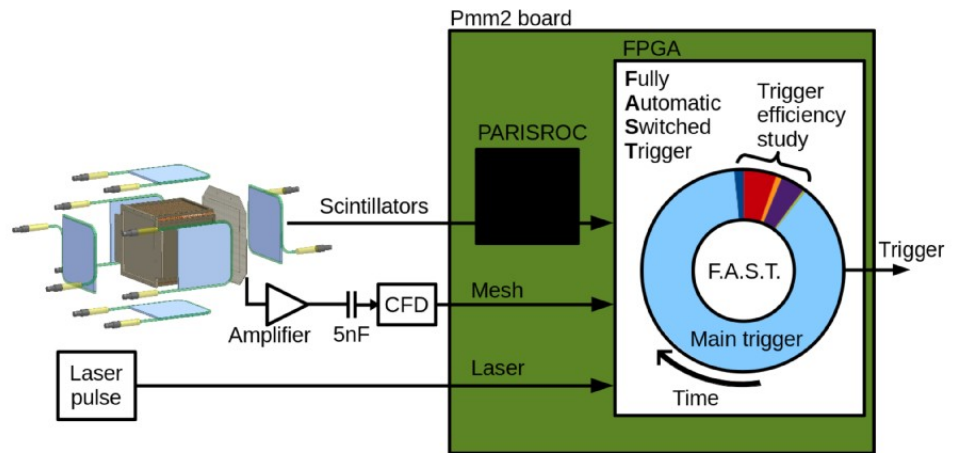
Y. Geerebaert *et al.*, (VCI2016 NIM A (arXiv:1603.06817) and Real Time Conference (RT), 2016 IEEE-NPSS)

# “Beam” trigger system: additional lines

- Trigger lines:

7	$T_{\gamma,laser}$	$\overline{S}_{up} \cap O \cap M_{slow} \cap L$
8	$T_{noMesh,laser}$	$\overline{S}_{up} \cap O \cap L$
9	$T_{invMesh,laser}$	$\overline{S}_{up} \cap O \cap M_{quick} \cap L$
10	$T_{noUp,laser}$	$O \cap M_{slow} \cap L$
11	$T_{noPM,laser}$	$\overline{S}_{up} \cap M_{slow} \cap L$
12	$T_{noLaser}$	$\overline{S}_{up} \cap O \cap M_{slow} \cap \overline{L}$

- Designed to characterize the performance (signal efficiency, background rejection) of each component of main trigger line

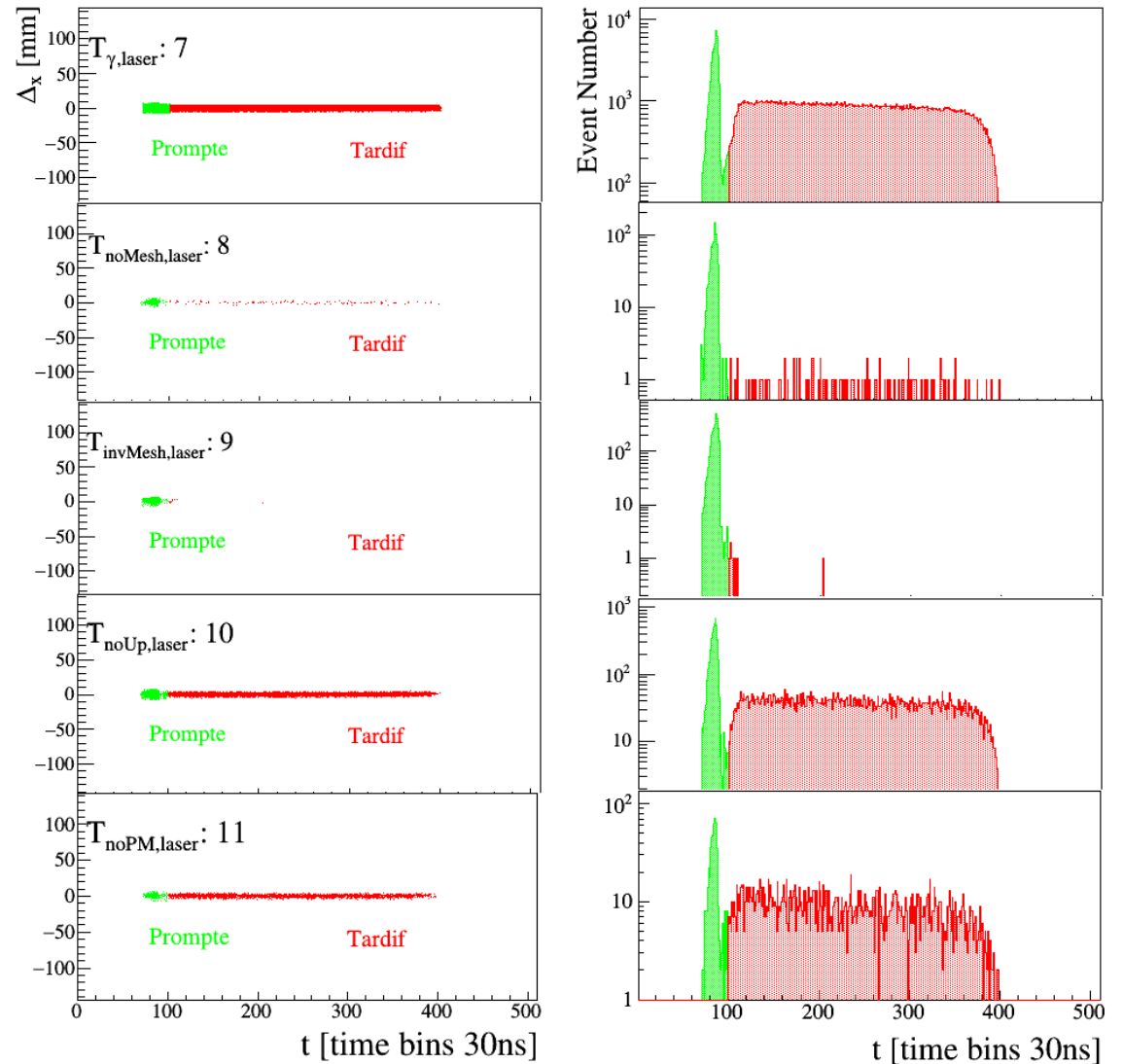


Y. Geerebaert *et al.*, (VCI2016 NIM A (arXiv:1603.06817)

and Real Time Conference (RT), 2016 IEEE-NPSS)

# “Beam” trigger system: conversion point distributions

- signal efficiency 51 %
- background rejection 99.3 %
- incident rate 2 kHz
- signal on disk 50 Hz



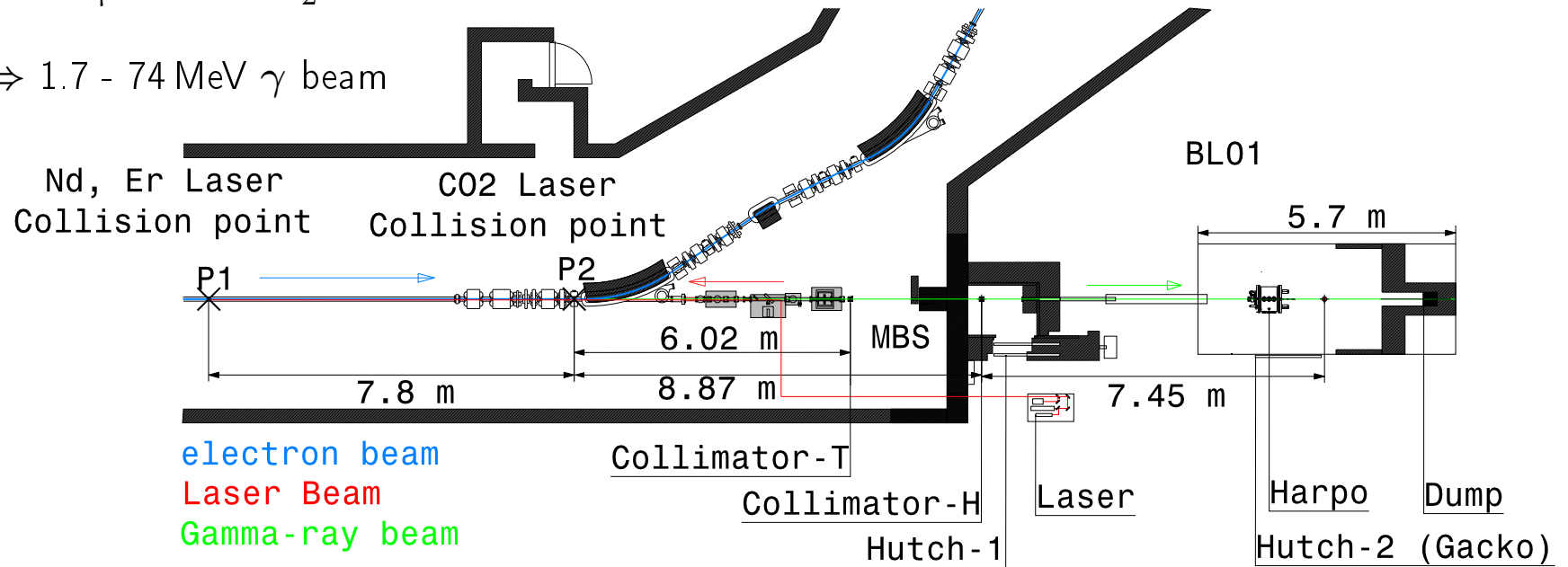
Y. Geerebaert *et al.*, (VCI2016 NIM A (arXiv:1603.06817) and Real Time Conference (RT), 2016 IEEE-NPSS)

# *Préparation de la prise de données*

- Logiciel de monitoring (Igor, Philippe, Yannick) : on-line et off-line.
- Memorandum-of-Understanding (Denis, Alain, Shuji et DR5, “cellule”, et U. of Hyôgo)
- Empaquetage Mickaël et al. et transport (Ulisse)

# Data Taking Nov. 2014 NewSUBARU, LASTI, Japan

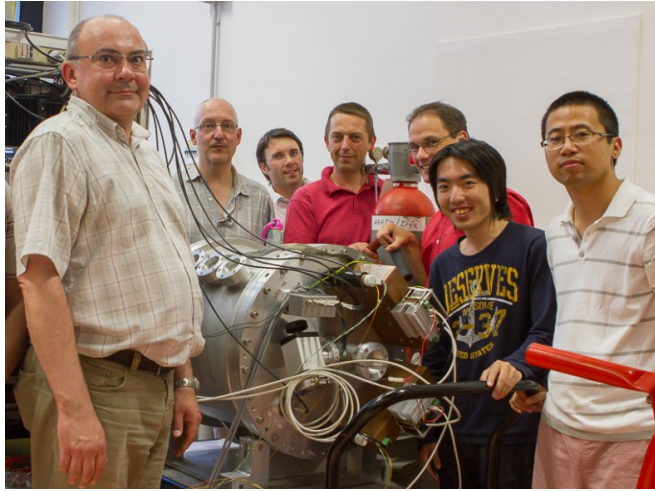
- Linearly polarized  $\gamma$  beam from Laser inverse Compton scattering,  $e^-$  beam 0.6 – 1.5 GeV.
- 0.532  $\mu\text{m}$  and 1.064  $\mu\text{m}$  20 kHz pulsed Nd:YVO<sub>4</sub> ( $2\omega$  and  $1\omega$ ), 1.540  $\mu\text{m}$  200 kHz pulsed Er (fibre) and 10.55  $\mu\text{m}$  CW CO<sub>2</sub> lasers
- $\Rightarrow$  1.7 - 74 MeV  $\gamma$  beam



- Monochromaticity by collimation on axis
- Fully polarized or random polarization beams ( $P = 0$ ,  $P = 1$ )
- 2.1 bar Ar:isoC<sub>4</sub>H<sub>10</sub> 95:5 (+ a 1-4 bar scan).

A. Delbart *et al.*, ICRC2015 PoS (ICRC2015) 1016.

# *Pics 2014*



le groupe du LLR  
LLR  
juillet

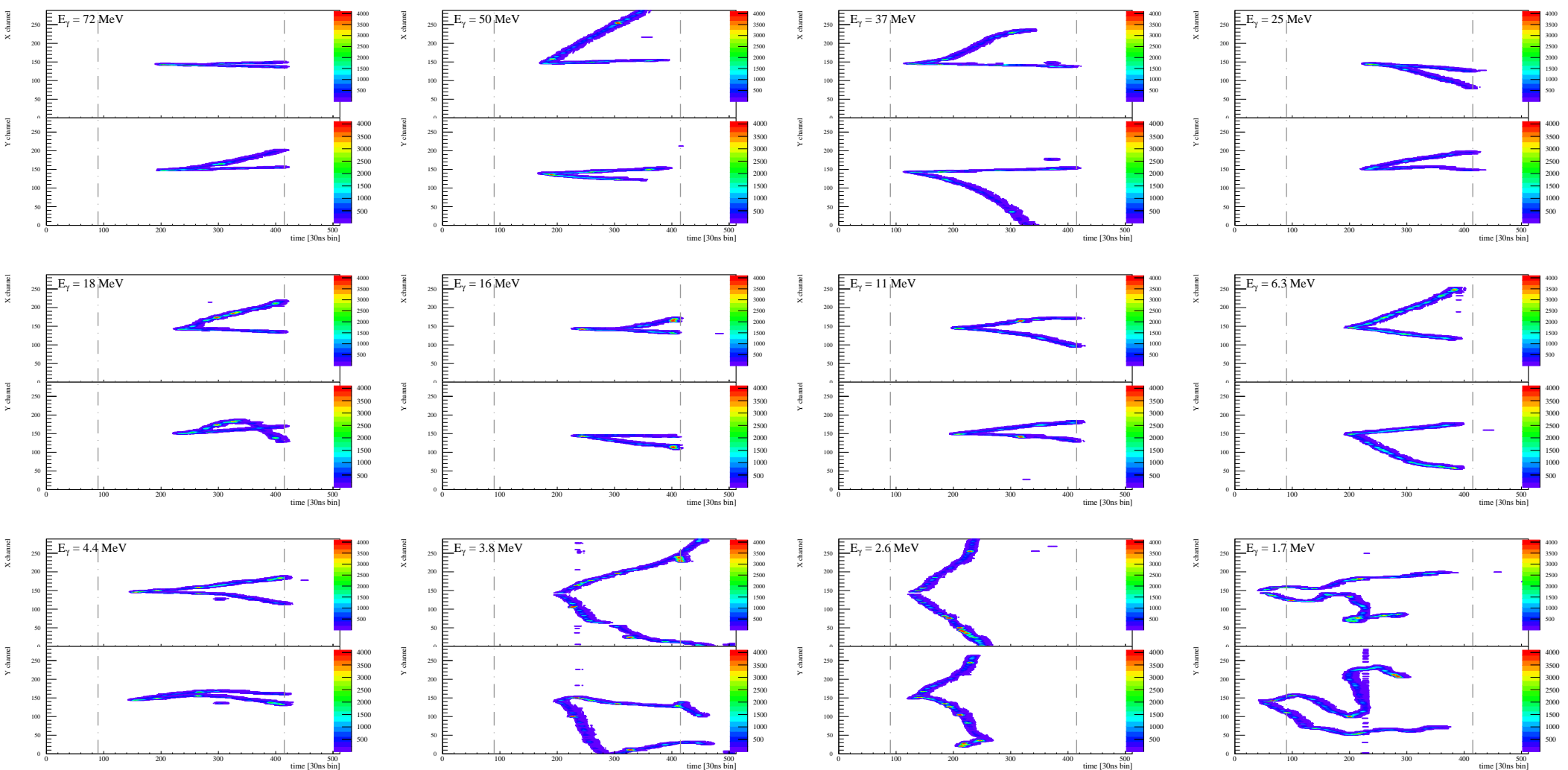


dans la salle de shifts  
NewSUBARU  
novembre



préparation prise de données  
NewSUBARU  
novembre

# Japan beam Data: gallery



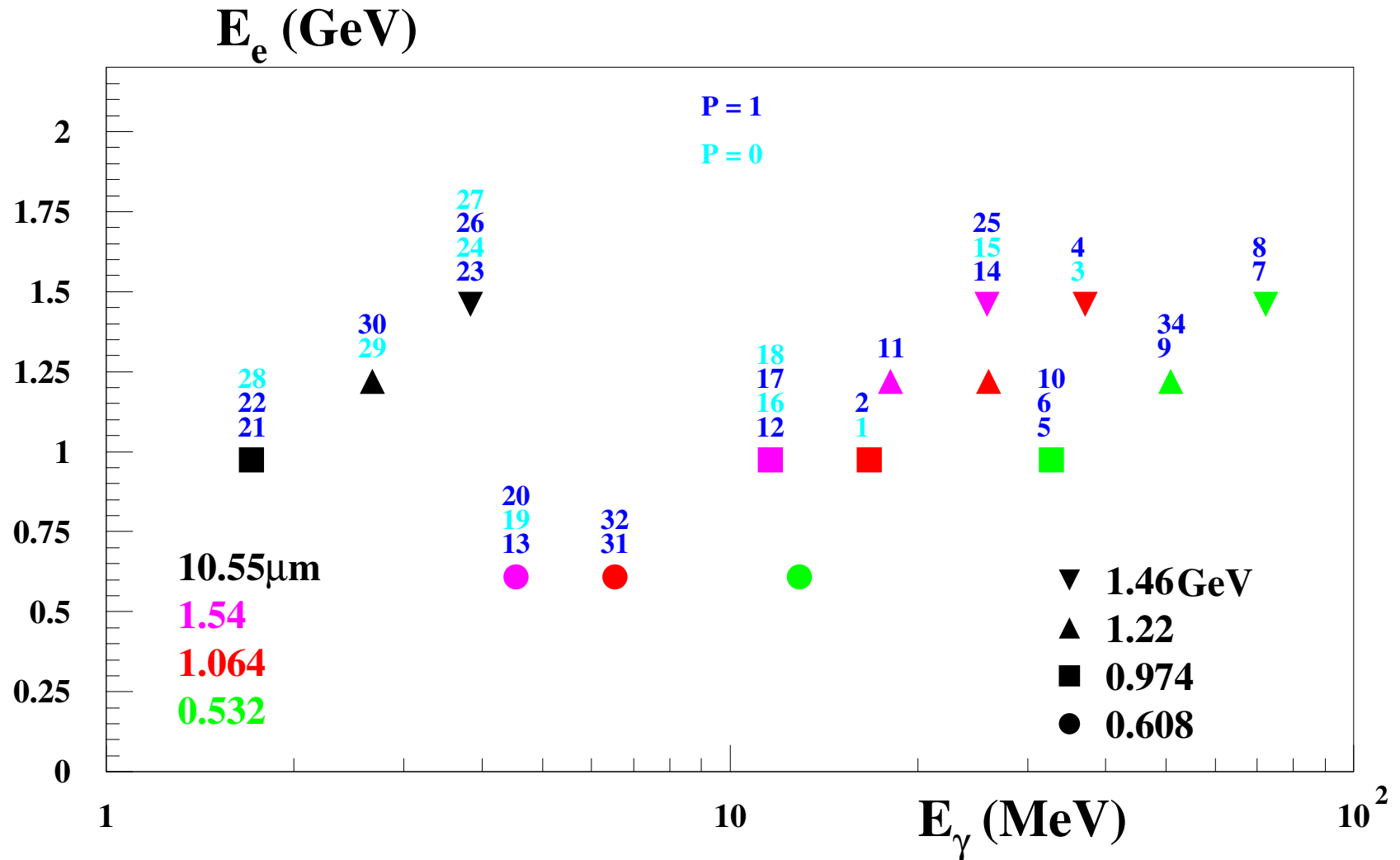
Sample of  $\gamma$ -rays from 74 to 1.7 MeV converting to  $e^+e^-$  in 2.1 bar Ar:isobutane 95:5

detected by the HARPO TPC

(pre-beam-calibration  $\gamma$ -ray energy on plots)

D. Bernard, Future Space-based Gamma-ray Observatories Workshop , NASA Goddard Space Flight Center, March 2016.

# Japan data : carte des configurations de faisceau(x)

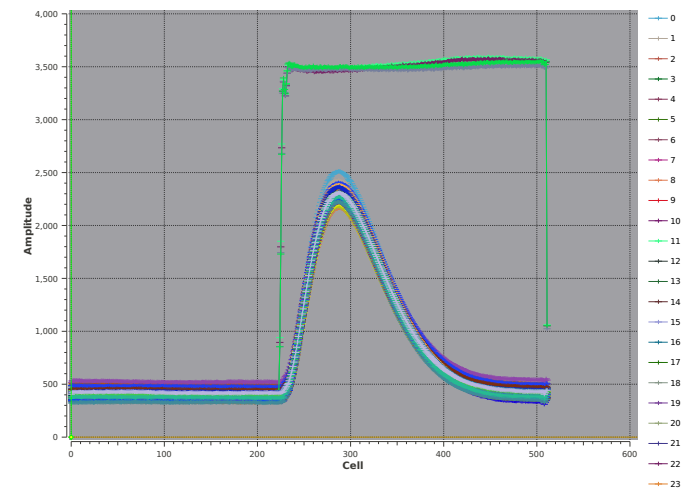
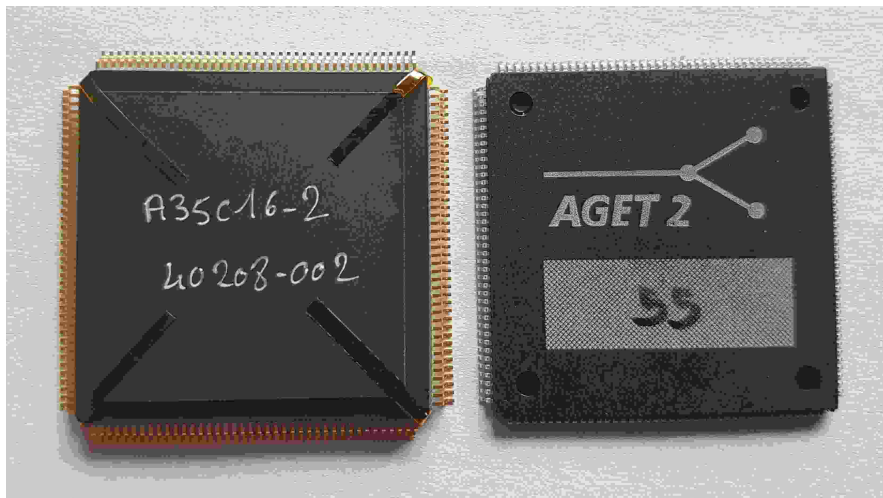


A. Delbart *et al.*, ICRC2015 PoS (ICRC2015) 1016.



# *ASTRE : chip pour TPC de 3ème génération et radhard*

- pré-série prototype réalisée cet été
- encapsulée cet automne
- 2016 : caractérisation (électronique) : les tests ont commencé



- 2017 : caractérisation (résistance au rayonnement) : HIF (Ion Irradiation Facility) de Louvain-la-Neuve

# *Publications, Communications en Conférences, Thèses*

- Phase sol uniquement

	2010	2011	2012	2013	2014	2015	2016	Total	en cours
articles publiés				2		1		3	
articles soumis							2	2	> 4
conf. sans proc.	2	1	3	2	3	3	4	18	
conf. avec proc.	1	2	1	1	2	2	6	15	
thèses soutenues						1		1	
thèse en cours									2
com.						5		5	
total	3	3	4	5	5	12	12	44	

- participations aux collaborations :

- RD51, development of Micro-Pattern Gas Detectors Technologies, CERN et al.
- e-ASTROGAM, France, Italie, et al.

<http://llr.in2p3.fr/~dbernard/polar/harpo-t-p.html>

# Communications grand public



<http://llr.in2p3.fr/~dbernard/polar/harpo-t-p.html>

# Our competitors

- All-silicon :
  - $1 - 2^\circ @ 100 \text{ MeV}$  (MC), plus de masse qu'HARPO, sensibilité semblable  $10 - 100 \text{ MeV}$ .
  - Capacité à observer le Compton avec le même détecteur jusqu'à  $0.1 \text{ MeV}$
  - Nombreux projets (survivants e-ASTROGAM (Fr-It et al.) et ComPair (US et al.), wafers "épais" ( $500 \mu\text{m}$ ).
  - *Aucune démonstration de polarimétrie (même MC).*
- Emulsions (GRAINE) :
  - $1.2^\circ @ 100 \text{ MeV}$ , MC et beam test.
  - polarisation vue à  $3\sigma$  en faisceau  $0.8-2.4 \text{ GeV}$ , mais *"ability to get down below  $100 \text{ MeV}$  an issue", death by stats.*
- TPC gaz :
  - SMILE (Kyôto) : semblable à HARPO mais focus Compton.
  - ADept (US) : développent l'amplification dans le gaz ..  
TPC  $\text{CS}_2^-$ ,  $v_{\text{drift}} \times 1000$ ,  $t_{\text{drift}} = 50 \text{ ms}$ , protons  $20 \text{ kHz/m}^2$ , *pile-up  $1\text{k}/(\text{evt} \times \text{m}^2)$*

# Conclusion

- Nous sommes en train d'inventer une nouvelle façon de faire de l'astronomie  $\gamma$  de très haute performance.
  - Astro  $\gamma$  non polarisée :
    - MC : Nous sommes les meilleurs sous 100 MeV;
    - validation faisceau faite : **nous sommes les seuls sous 100 MeV;**
  - Polarimétrie  $\gamma$  :
    - MC : Nous sommes les seuls (et les meilleurs donc) sous 100 MeV;
    - Polarimétrie impossible au dessus de 100 MeV avec un budget décent :
      - *death by stats*
      - angle d'ouverture
    - Donc : MC : Nous sommes les seuls
    - Validation en faisceau faite : **don't miss Philippe's talk !**
    - **Donc : Nous sommes les seuls.**
  - Qualité des personnels français et japonais, efforts des contribuables
- Nous sommes leaders dans la gamme en énergie critique. **don't miss Deirdre's talk !**

# *Planches supplétives*

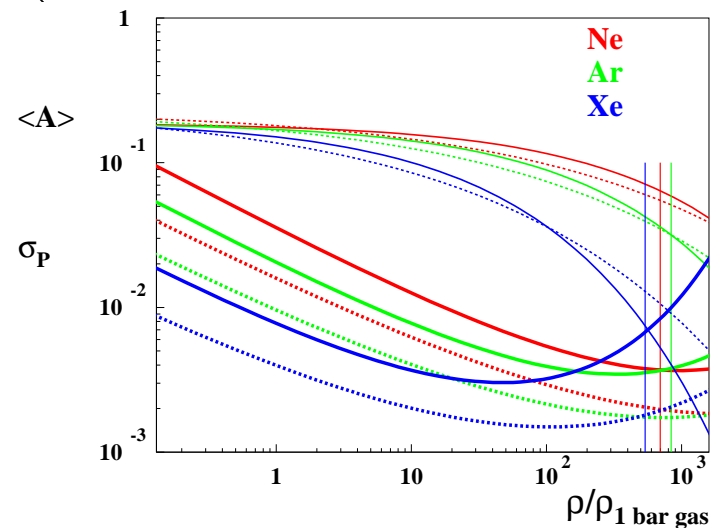
# Précision mesure de $P$

- Pour  $B \ll S$ , argon,  $P$  “pas trop élevée” :

$$\sigma_P \approx 1.4\% \sqrt{\left(\frac{\text{Crab}}{F}\right) \left(\frac{1 \text{ year}}{T}\right) \left(\frac{1 \text{ m}^3}{V}\right) \left(\frac{5 \text{ bar}}{P}\right) \left(\frac{1}{\eta\epsilon}\right)}$$

- Variation gaz, densité (Achtung Achtung : plot sans les coupes expérimentales ..)

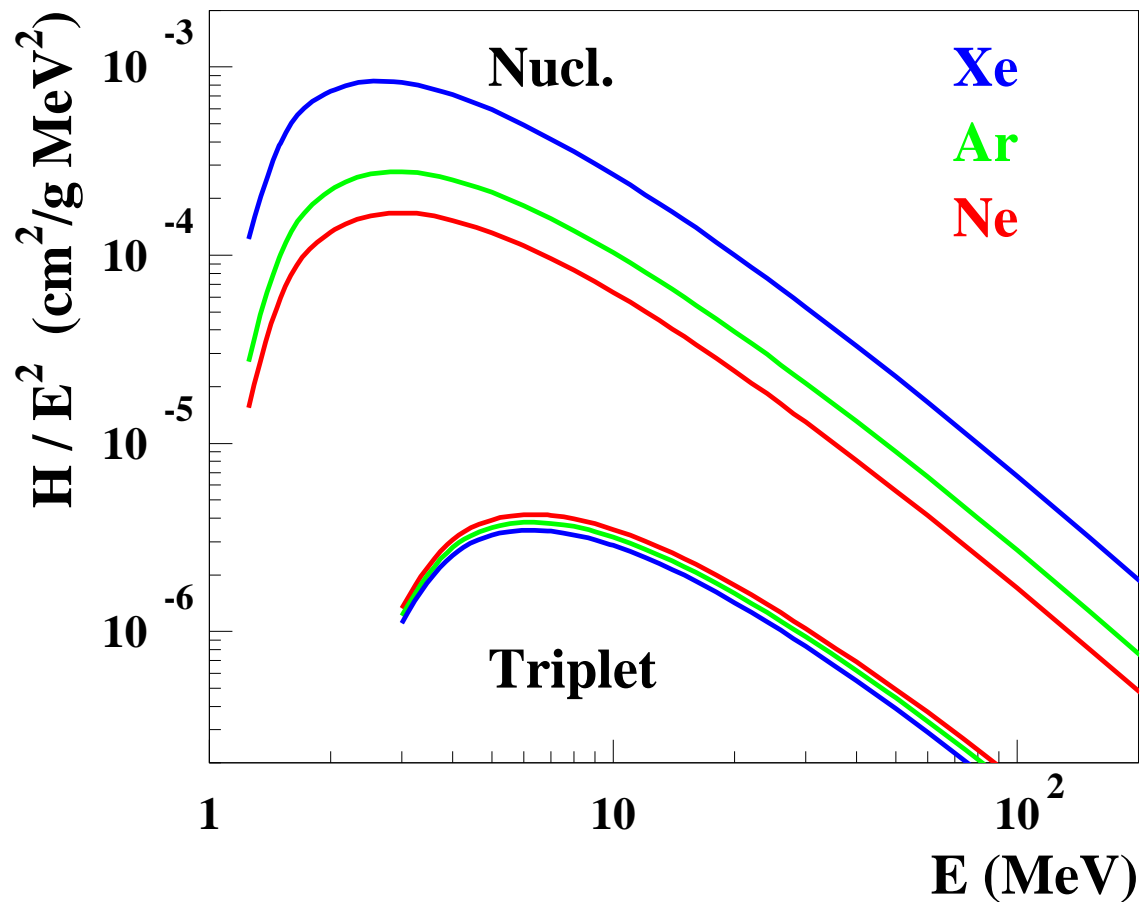
- continu : 1D
- pointillé : 5D



- $B$  non négligeable, dégradation  $\propto \sqrt{\frac{S+B}{S}}$

NIM A 729 (2013) 765

## Depth by Stats ?



- Product of the attenuation length  $H$  for three noble gases by a typical cosmic-source spectrum  $1/E^2$  as a function of photon energy  $E$  ( $H$  is taken from N.I.S.T.)

NIM A 729 (2013) 765